

ASA - Relatório 1

Marisa Roque - 76653

21 de Março de 2014

Introdução

Foi apresentado um problema que consistia em analisar a forma como se dá a partilha de informação entre pessoas e em como algumas pessoas acabam por formar grupos, supondo que cada pessoa tem um conjunto de pessoas com quem partilha o que recebe. O objectivo deste trabalho é classificar as pessoas em grupos de partilha, de tal forma que quando uma das pessoas do grupo recebe algo, todas as outras desse mesmo grupo também recebem.

Nesse sentido, o programa desenvolvido está preparado para receber informação sobre o modo como se dá a partilha entre pessoas. Esta informação deve conter uma linha inicial com o número de pessoas N e com o respectivo número de partilhas P realizadas por essas mesmas pessoas. Nas restantes linhas de entrada deve vir a informação discriminada entre que pessoas se deu a partilha de informação. As pessoas devem ser identificadas como inteiros entre 1 e N , como tal, por exemplo, o facto de vir 1 2 na segunda linha de entrada número 1 quer dizer que a pessoa 1 partilha o que recebe com a pessoa 2.

O programa tem como principal função devolver informação sobre os grupos de partilha, nomeadamente e por ordem de saída, o número de grupos máximos de pessoas que partilham informação, o tamanho do maior grupo máximo de pessoas que partilham informação e, por fim, uma linha com o número de grupos máximos de pessoas que partilham informação apenas dentro do grupo.

Descrição da solução

Para chegar a uma solução eficiente passou-se por várias etapas. A primeira foi analisar e perceber detalhadamente os dois exemplos apresentados no enunciado. Para isso foi necessário recorrer à teoria dos grafos, onde são estudadas as estruturas chamadas de grafos, $G(V, E)$, onde V é um conjunto não vazio de objectos denominados vértices e E é um conjunto de pares não ordenados de V , chamado arestas. Daqui rapidamente se partiu para a ideia geral de que se tratavam de grafos dirigidos, dada a natureza do problema, na sua maioria grafos esparsos - aqueles para os quais $|E|$ é muito menor que

$|V|^2$ -, e que o que se pretendia era descobrir as componentes fortemente ligadas (SCC) dos mesmos.

Segundo Thomas H. Cormen et al. [1], um componente fortemente ligado de um grafo orientado $G = (V, E)$ é um conjunto máximo de vértices $C \subseteq V$, tal que, para todo o par de vértices v e w em C , temos ao mesmo tempo $v \rightsquigarrow w$ e $w \rightsquigarrow v$, isto é, os vértices v e w são acessíveis um a partir do outro. Exemplos das componentes fortemente ligadas do exemplo 1 podem ser observados na figura 1 (c).

Como visto em cima e pelo facto de os grafos serem esparsos, optou-se por fazer a representação dos grafos através de listas de adjacências ao invés da representação por matriz de adjacências (figura 1 (b)). Por conseguinte, para um grafo $G = (V, E)$, fez-se um arranjo de $|V|$ listas, uma para cada vértice em V . Para cada $v \in V$, a lista de $Adj[u]$ contém ponteiros para todos os vértices w tais que existe uma aresta $(v, w) \in E$, ou seja, $Adj[v]$ consiste em todos os vértices adjacentes a v em G .

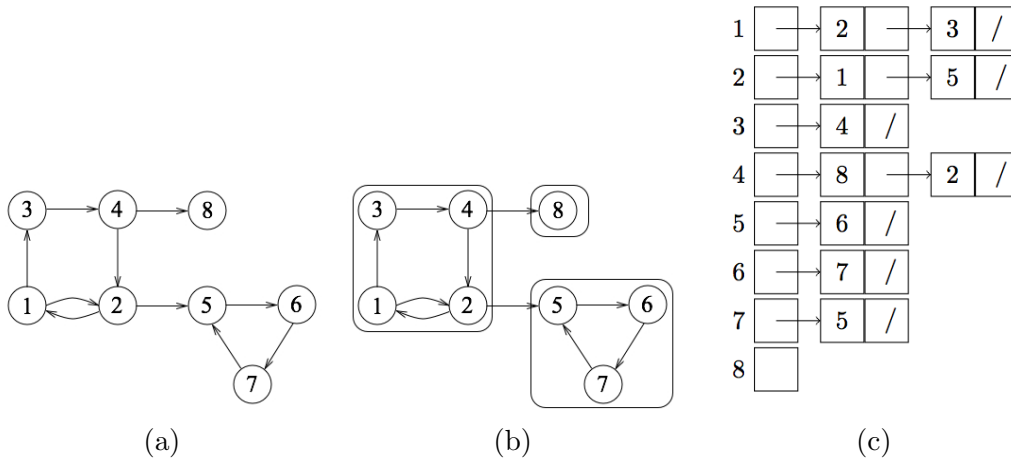


Figura 1: Exemplo 1 do enunciado. (a) Representação do grafo orientado G com oito vértices e 10 arcos. (b) Representação dos componentes fortemente ligados de G . (c) Representação de G como uma lista de adjacências.

Assim, ao nível do código, foram criadas três estruturas essenciais. Uma estrutura chamada *graph* que contém o vector de listas de adjacência, o número de vértices N (ou pessoas, se virmos da perspectiva do problema), o número de arcos do grafo P ou de partilhas entre as pessoas e, por fim, um vector com o número da componente fortemente ligada. O vector de listas de adjacências de um grafo tem uma lista ligada para cada vértice do grafo. A lista do vértice v contém todos os adjacentes de v . A lista de adjacência de um vértice v é composta por nós do tipo *node*. Cada nó da lista corresponde a um arco e contém um adjacente w de v e o endereço do nó seguinte da lista. Um *link* é um ponteiro para um *node*. Uma segunda estrutura essencial no programa, *scc_result*, com o objectivo de reunir a informação resultante do algoritmo de Tarjan, contém o número de SCC, um vector de vectores com os SCC e outro vector com o tamanho de cada SCC.

Análise teórica

Na modelação deste problema usou-se um algoritmo recursivo de tempo linear, ou seja, de tempo $O(V + E)$, para encontrar componentes fortemente ligados de um grafo dirigido $G = (V, E)$, chamado algoritmo de Tarjan. Como se pode ver pelo pseudo-código em baixo, este é um algoritmo que faz uso do algoritmo de busca em profundidade de grafos (DFS). Resumindo, a inicialização dá-se em tempo $O(V)$, as chamadas à função DFSscc igualmente em $O(V)$, e, por fim as listas de adjacências são analisadas apenas uma vez, logo, $O(E)$.

Algorithm 1 Algoritmo de Tarjan

```
1: procedure SCC_TARJAN( $G$ )
2:   visited = 0
3:   L = 0
4:   for all vertex  $u \in V[G]$  do
5:      $d[v] = \infty$ 
6:   end for
7:   for all vertex  $v \in V[G]$  do
8:     if  $d[v] = \infty$  then
9:       DFSscc[ $v$ ]
10:    end if
11:  end for
12: end procedure

13: procedure DFSscc( $G, v$ )
14:   $d[v] = \text{low}[v] = \text{visited}$ 
15:  visited = visited + 1
16:  Push(L,  $v$ )
17:  for all  $v \in \text{Adj}[v]$  do
18:    if  $d[w] = \infty$  then
19:      DFSscc( $v$ )
20:    end if
21:    if  $\text{low}[w] < \text{low}[v]$  then
22:       $\text{low}[v] = \text{low}[w]$ 
23:    end if
24:  end for
25:  if  $d[v] = \text{low}[v]$  then
26:    repeat
27:       $w = \text{Pop}(L)$ 
28:    until  $v = w$ 
29:  end if
30: end procedure
```

Podia-se também ter optado pelo algoritmo de Kosaraju, no entanto, este tinha à partida a desvantagem aparente de ter que realizar duas buscas em profundidade (DFS), o que o tornou logo menos atractivo em termos de eficiência, em comparação com o de Tarjan.

Resultados da avaliação experimental

Após completa a codificação, a solução foi submetida a diferentes testes. Numa primeira fase, foram feitos os testes disponibilizados pelos docentes, bem como os dois exemplos do enunciado. Nesta fase, a solução parecia ter um comportamento aceitável, pois as saídas estavam todas correctas. No entanto, estes testes não era suficientemente exaustivos e não testavam todas as hipóteses de entradas. Ao submeter o ficheiro no *Mooshak*, o algoritmo foi submetido a testes mais rigorosos. Das primeiras vezes que foi submetido ocorria um *Time Limit Exceeded* em três testes (10, 12, 15). Posteriormente, melhorou-se o nosso algoritmo mudando os acessos à lista de adjacências e optou-se por marcar os vértices para indicar a qual componente fortemente ligado eles pertencem, verificação essa que demora tempo constante.

No entanto, depois dos devidos ajustes, submeteu-se uma solução optimizada que passou com sucesso aos 16 testes do sistema.

Referências

- [1] Thomas H. Cormen, *Introduction to Algorithms*. Charles E. Leiserson, Ronald L. Rivest and Clifford Stein, Third Edition, September 2009.